

Szlak mewalonowy

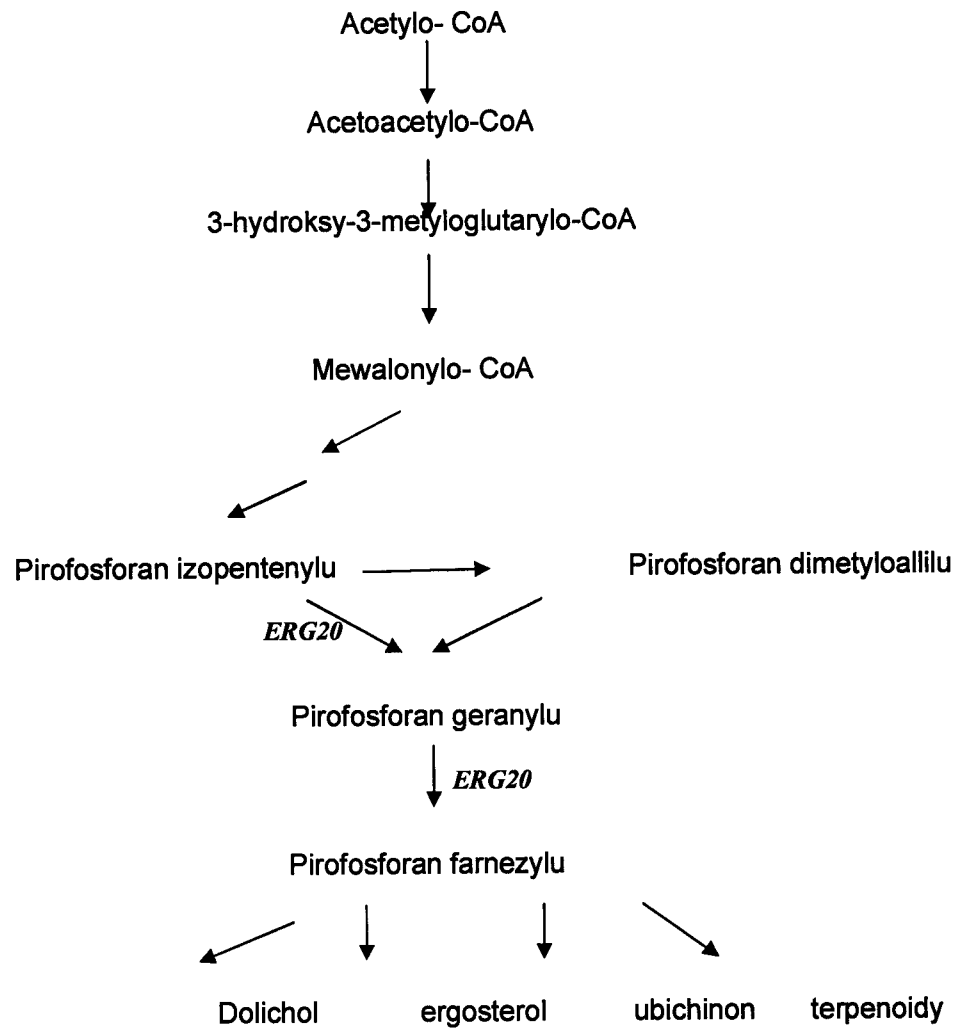
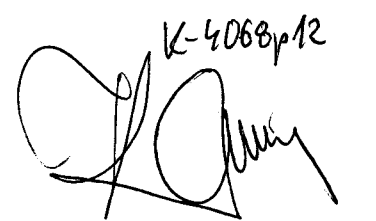
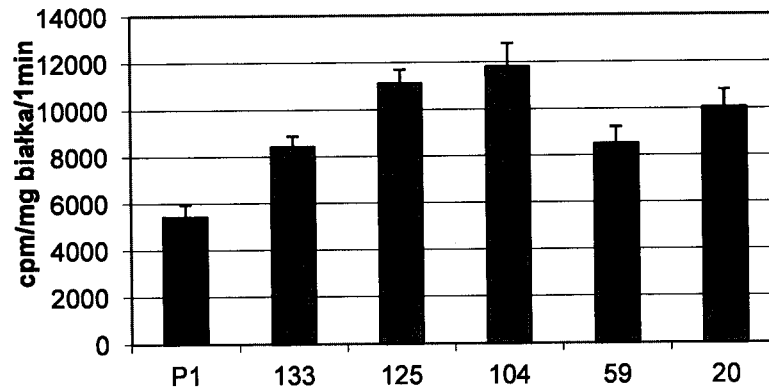


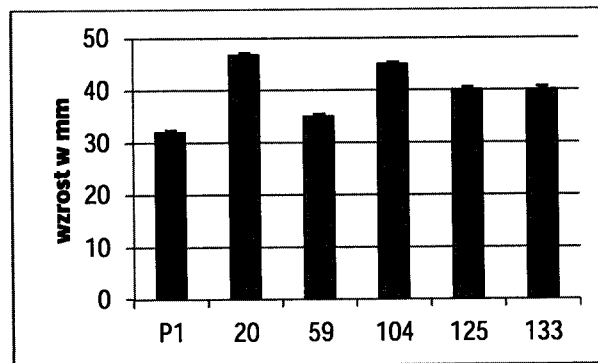
Fig.1

K-4068p12

Dr inż. Zbigniew Kamiński
RZECZNIK PATENTOWY



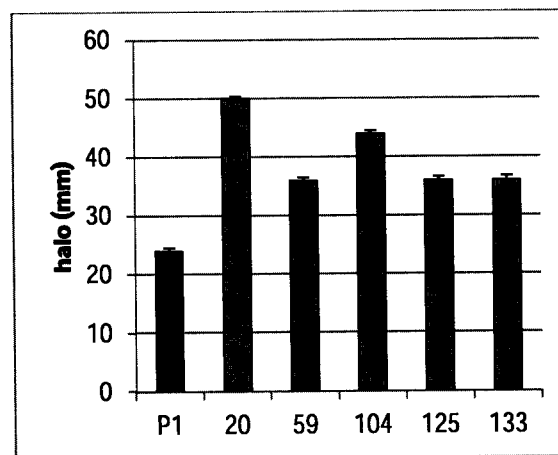
Wpływ ekspresji genu *ERG20* kodującego syntazę pirofosforanu farnezylu (FPP) na aktywność enzymu.

Fig.2



Wzrost szczepów na płytce zawierającej pożywkę minimalną z karboksymetylocelulozą.

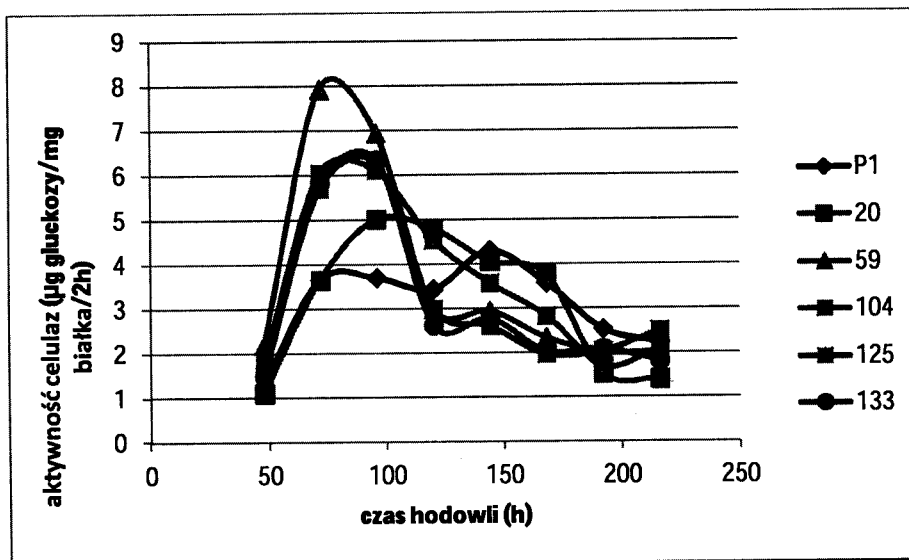
Fig.3A



Halo wkóło kolonii rosnącej na płytce z pożywką minimalną z karboksymetylocelulozą.

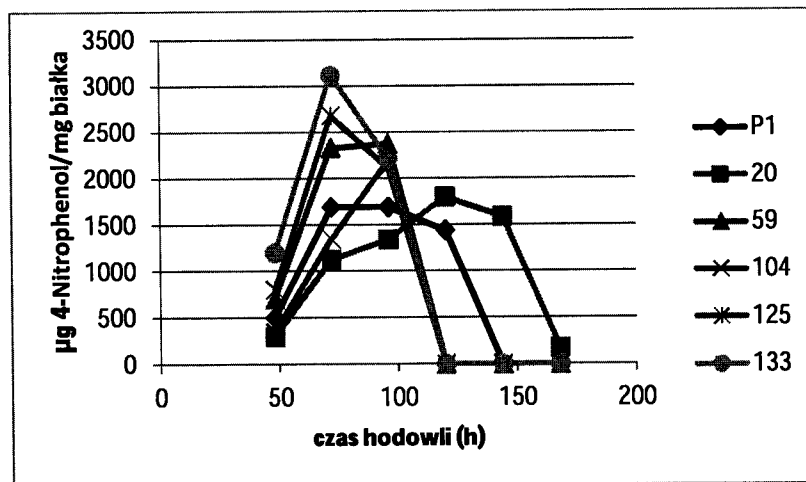
Fig.3B

K-4068/p12
Dr inż. Zbigniew Kamiński
RZECZNIK PATENTOWY



Aktywność celulaz w pożywce po hodowli grzybów.

Fig.4A

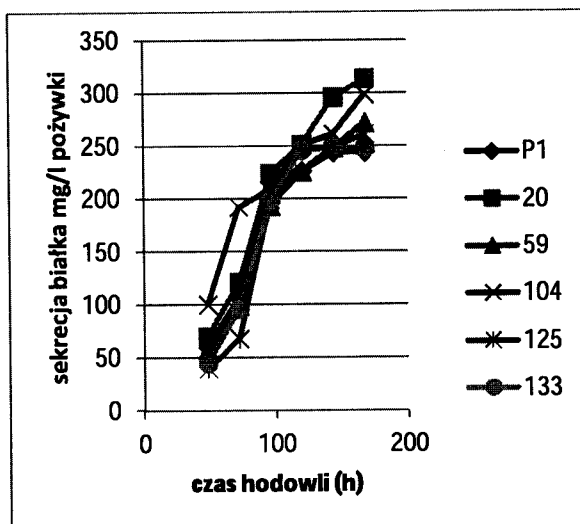


Aktywność N-acetyl-β-D-glukozaminidazy w pożywce po hodowli grzybów.

Fig.4B

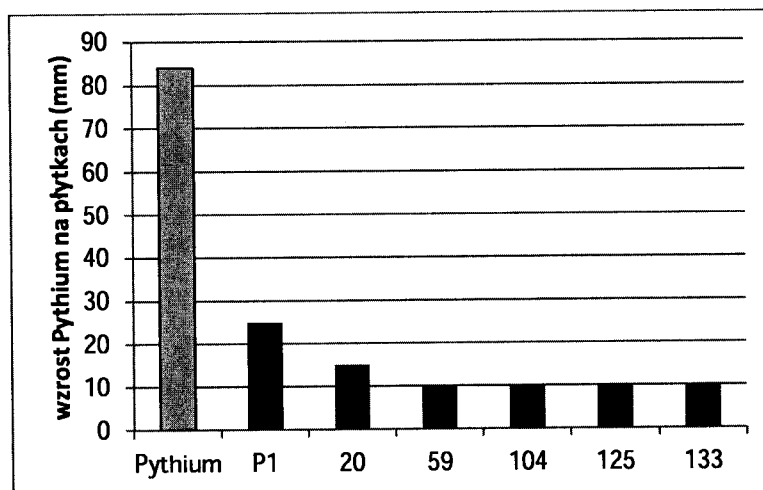
K-4068p12

Dr inż. Zbigniew Kamiński
RZECZNIK PATENTOWY



Wydzielanie białek do pożywki podczas hodowli grzybów na pożywce z laktozą.

Fig.5

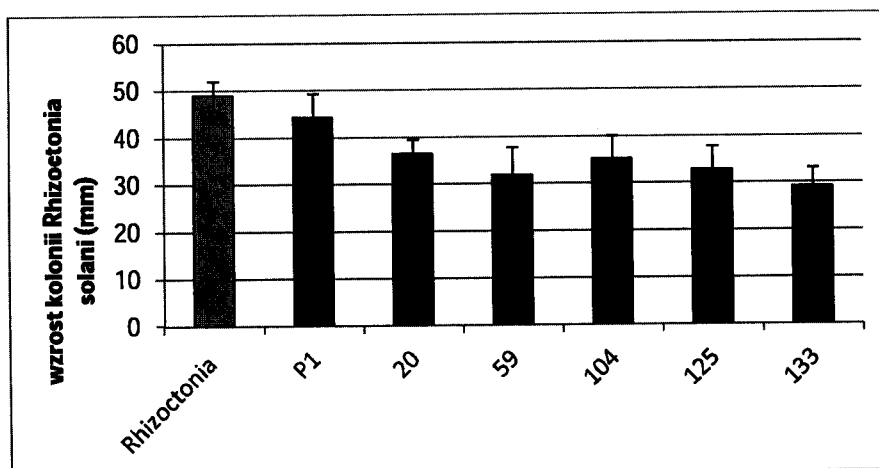


Wzrost *Pythium ultimum* na płytkach po hodowli *Trichoderma*.

Fig.6

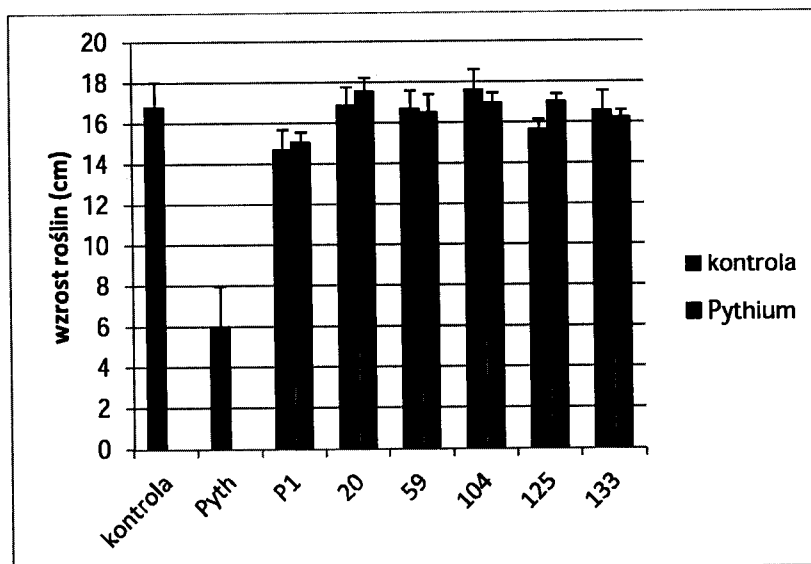
K-4068p/12

Dr inż. Zbigniew Kamiński
RZECZNIK PATENTOWY



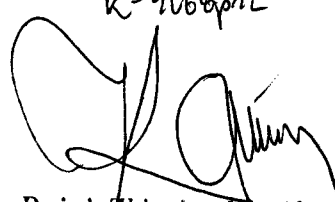
Wzrost *Rhizoctonia solani* w atmosferze substancji lotnych wydzielanych przez *Trichoderma*.

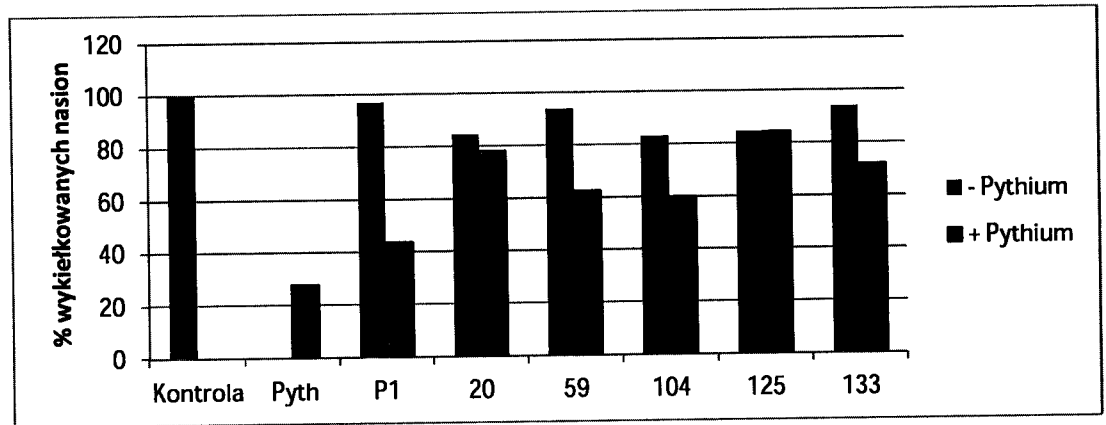
Fig.7



Wzrost fasoli *Phaseolus vulgaris* L. (var. *nanus* L.) w ziemi zakażonej *Pythium ultimum*.

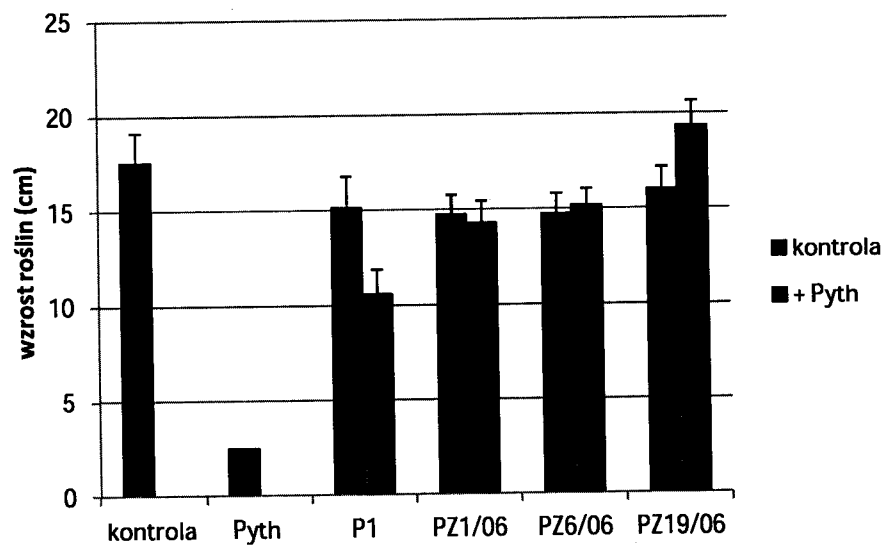
Fig.8

K-4068p12

 Dr inż. Zbigniew Kamiński
 RZECZNIK PATENTOWY



Procent wykiełkowanych nasion *Phaseolus vulgaris* L. (var. *nanus* L.) obliczony po 10 dniach wzrostu roślin.

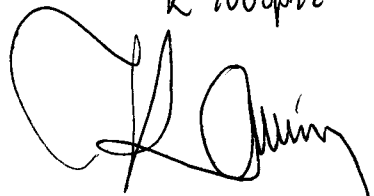
Fig.9



Wzrost fasoli *Phaseolus vulgaris* L. (var. *nanus* L.) w ziemi zakażonej *Pythium ultimum*.

Wyniki przedstawione w zgłoszeniu patentowym P393021

Fig.10

K-4068p/12

 Dr inż. Zbigniew Kamiński
 RZECZNIK PATENTOWY

Sekwencja nr 1

ATGGCTTCAGAAAAAGAAATTAGGAGAGAGAGATTCTTGAACGTTTTCCCTAAATTAGTA
 GAGGAATTGAACGCATCGCTTTTGGCTTACGGTATGCCTAAGGAAGCATGTGACTGGTAT
 GCCCACTCATTGAACTACAACACTCCAGGCGGTAAGCTAAATAGAGTTTGTCCGTTGTG
 GACACGTATGCTATTCTCTCCAACAAGACCGTTGAACAATTGGGGCAAGAAGAATACGAA
 AAGGTTGCCATTCTAGGTTGGTGCATTGAGTTGTTGCAGGCTTACTTCTTGGTCGCCGAT
 GATATGATGGACAAGTCCATTACCAGAAGAGGCCAACCATGTTGGTACAAGTTTCTGAA
 GTTGGGGAAATTGCCATCAATGACGCATTGTTAGAGGCTGCTATCTACAAGCTTTTG
 AAATCTCACTTCAGAAACGAAAAATACTACATAGATATCACCGAATTGTTCCATGAGGTC
 ACCTTCAAACCGAATTGGGCCAATTGATGGACTTAATCACTGCACCTGAAGACAAAAGTC
 GACTTGAGTAAGTTCTCCCTAAAGAAGCACTCCTTCATAGTTACTTTCAAGACTGCTTAC
 TATTCTTTCTACTTGCCTGTGCGCATTGGCCATGTACGTTGCCGGTATCACGGATGAAAAG
 GATTTGAAACAAGCCAGAGATGTCTTGATTCCATTGGGTGAATACTTCAAATTCAAGAT
 GACTACTTAGACTGCTTCGGTACCCCAGAACAGATCGGTAAGATCGGTACAGATATCCAA
 GATAACAAATGTTCTTGGGTAATCAACAAGGCATTGGAACCTGCTTCCGCAGAACAAAAGA
 AAGACTTTAGACGAAAATTACGGTAAGAAGGACTCAGTCGCAGAAGCCAAATGCAAAAAG
 ATTTTCAATGACTTGAAAATTGAACAGCTATACCACGAATATGAAGAGTCTATTGCCAAG
 GATTTGAAGGCCAAAATTTCTCAGGTCGATGAGTCTCGTGGCTTCAAAGCTGATGTCTTA
 ACTGCGTTCCTGAACAAAGTTTACAAGAGAAGCAAATAG

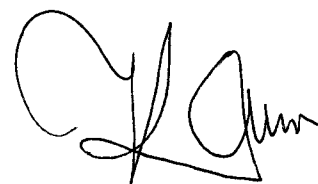
Sekwencja nukleotydowa kodująca syntazę FPP z *S. cerevisiae*

Sekwencja 2

1 MASEKEIRRE RFLNVFPKLV EELNASLLAY GMPKEACDWY AHSLNYNTPG
 51 GKLNRGLSVV DTYAILSNTK VEQLGQEEYE KVAILGWCI ELLQAYFLVAD
 101 DMMDKSITRR GQPCWYKVPE VGEIANDAF MLEAAIYKLL KSHFRNEKYY
 151 IDITELFHEV TFQTELGQLM DLITAPEDKV DLSKFSLLKH SFIVTFKTAY
 201 YSFYLPVALA MYVAGITDEK DLKQARDVLI PLGEYFQIQD DYLD CFGTPE
 251 QIGKIGTDIQ DNKCSWWINK ALELASAEQR KTLDENYGGK DSVAEAKCKK
 301 IFNDLKIEQL YHEYEESIAK DLKAKISQVD ESRGFKADVL TAFLNKVYKR
 351 SK

Sekwencja aminokwasowa syntazy FPP z *S. cerevisiae*

Fig.11



K-4068p12

Dr inż. Zbigniew Kamiński
 RZECZNIK PATENTOWY